

航空宇宙技術研究所報告

TECHNICAL REPORT OF NATIONAL AEROSPACE LABORATORY

TR-150

強化プラスチックスの熱的物性値について
(輻射加熱による測定)

小川鉱一・野口義男

1968年2月

航空宇宙技術研究所
NATIONAL AEROSPACE LABORATORY

強化プラスチックスの熱的物性値について*

(輻射加熱による測定)

小川 鉱一**・野口 義男**

The Measurement of Thermal Properties of Reinforced Plastics at Temperatures up to 150°C (Infra-red Radiation Method¹⁾)

By Koichi OGAWA and Yoshio NOGUCHI

This paper presents the technique of measuring thermal properties, such as thermal diffusivity, heat capacity and thermal conductivity of reinforced plastics, and particularly the characteristics of those materials at temperatures up to 150°C using the infra-red radiation method.

Eighteen different reinforced plastics were tested, these materials consisting of phenol, epoxy, polyester, silicon, flan and melamine for the resin material, and glass, Tectoron, asbestos, nylon, cotton cloth and paper for the reinforcing material, respectively.

From the results of measurement of thermal properties of reinforced plastics at temperatures up to 150°C, the following conclusions are deduced:

- 1) Thermal diffusivity α decreases as the temperature rises and its value is more affected by the reinforcing material than that of the resin.
- 2) Heat capacity ρc increases as the temperature rises and the effect does not depend so much on the reinforcing and resin materials.
- 3) These plastics have different characteristics as to thermal conductivity k , depending upon the material, the influence of the reinforcing material predominating over that of the resin.

1. まえがき

最近強化プラスチックスが各方面に使用されるようになり、航空機やロケット等の高速飛しょう体にも数多く用いられるようになった。高速飛しょう体に強化プラスチックスが使用された場合、空力加熱による機体の温度上昇を計算により求めておくためには使用された強化プラスチックスの熱的物性値をあらかじめ知る必要がある。一般金属においては熱的物性値はほとんどが知られているのに対して強化プラスチックスの熱的物性値は使用される樹脂、基材および製造法等によりその値が異なることが報告⁴⁾されているにもかかわらず、強化プラスチックスの熱的物性値についての報告はあまりなされていない。したがって強化プラスチックスを応用した物の熱的物性値を知る場合には、そのつどその強化プラスチックスの熱的物性値を測定

することが望ましい。熱的物性値の測定には一般に簡単ではないし、また時間を要するものであるが、著者の一人がすでに報告した輻射加熱による固体の熱的物性値測定法¹⁾によれば非常に簡単に求められ、かつ150°Cの高温まで十分測定できるので、この方法にもとづき常温より50°Cおきに150°Cまでの温度に対する強化プラスチックスの熱的物性値すなわち温度伝導率 α 、熱容量 ρc および熱伝導率 k を求めた結果につき報告する。測定を行なった強化プラスチックスの種類は樹脂としてフェノール、エポキシ、ポリエステル、シリコン、フランおよびメラミンの各樹脂にガラス布、紙、布、テトロン布、アスベスト布およびナイロン布を基材としたもの15種、耐熱FRP3種および90%は空気といわれる発泡ポリスチレンシートの計19種類について行なった。

2. 热的物性値測定法の原理

測定法の原理についてはすでに報告¹⁾してあるので

* 昭和42年11月21日受付

** 機体第一部

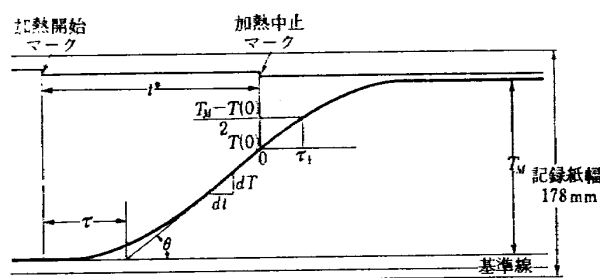


図 2.1 電磁オシログラフによる試料裏面温度の記録説明図

ここでは簡単にその方法について述べることにする。試料平板の片側表面を、試料よりある一定距離はなれた位置に置かれた赤外線ランプの一様な輻射熱量 $q(\text{cal}/\text{cm}^2 \cdot \text{s})$ で裏面温度の過渡状態が終り準定常状態になるまで t^* 時間加熱する。このとき裏面は断熱と仮定すると裏面温度は図 2.1 に示すように時間 t^* に相当する温度 $T(0)$ まで上昇する。 t^* 時間後に急激に加

熱を中止したときの試料内部の温度分布は厚さ方向 x の二次関数となっていて、加熱面が高く、裏面が低い温度である。したがって加熱中止後も表面、裏面を断熱と仮定するならば、試料内部の厚さ方向温度分布が一様になるまで裏面温度は上昇し、図 2.1 に示すように時間とともに平衡温度 T_M に近づく。図 2.1 のような測定結果より加熱中止後に到達する平衡温度 T_M と加熱を中止した瞬間の温度 $T(0)$ の差の半分、すなわち $\{T_M - T(0)\}/2$ まで裏面温度が上昇するに要する時間を $\tau_{1/2}(\text{sec})$ とすると温度伝導率 α は $\tau_{1/2}$ と試料の板厚 $\delta(\text{cm})$ を用いて

$$\alpha = 0.875 \frac{\delta^2}{\pi^2 \tau_{1/2}} \left[\frac{\text{cm}^2}{\text{s}} \right] \quad (2.1)$$

として求められる。また熱容量 ρc は後述する加熱熱量率 $q(\text{cal}/\text{cm}^2 \cdot \text{s})$ 、加熱時間 $t^*(\text{sec})$ 、平衡温度 T_M ($^{\circ}\text{C}$) および板厚 $\delta(\text{cm})$ を知って

$$\rho c = \frac{qt^*}{\delta T_M} \left[\frac{\text{cal}}{\text{cm}^3 \cdot ^{\circ}\text{C}} \right] \quad (2.2)$$

表 3.1 試 料

| 結 合 剤 | | フェノール樹脂 | 同 左 | 同 左 | 同 左 | 同 左 | 同 左 |
|-------------|--------------------|-----------------------|-----------------------|----------------|---------------------|-------------|------------------------|
| 基 材 | 細 糸 布 | ガラス布 | ナイロン布 | 太 糸 布 | アスペスト布 | 紙 | |
| 記 号 | L P-51N | L P-61N | L P-91N | L P-55N | L P-64N | L P-44N | |
| 硬 き | H _B | 35~45 | 45~55 | — | 30~40 | 30~45 | — |
| 引 張 強 さ | kg/mm ² | 6~9 | 12~20 | 4~9 | 6~9 | 6~9 | 7~13 |
| 曲げ強さ(層に垂直) | kg/mm ² | 10~18 | 14~22 | 7~14 | 9~15 | 8~12 | 12~18 |
| 圧 縮 強 さ | 層に垂直 | kg/mm ² | 24~30 | 30~45 | — | 24~30 | 20~30 |
| | 層に平行 | kg/mm ² | 20~25 | 12~18 | — | 18~23 | — |
| 衝 撃 強 さ | 層に垂直 | kg-cm/cm ² | 10~20 | — | — | 15~30 | 15~30 |
| | 層に平行 | kg-cm/cm ² | 4~8 | 30~50 | — | 10~15 | — |
| 耐熱性試験温度 | C° | 140 | 180 | 110 | 140 | 180 | 130 |
| 比 重 量* | g/cm ³ | 1.27 | 1.62 | 1.19 | 1.32 | 1.63 | 1.33 |
| 吸水率(厚さ3 mm) | % | 0.9~1.2 | 1.8~2.0 | 0.2~0.4 | 1.1~1.6 | 1.5~2.5 | 0.5~0.9 |
| 試 料 厚 さ | mm | 1.95 | 1.47 | 0.68 | 3.00 | 1.73 | 1.65 |
| 特 性 用 途 | | 機械加工性良好 高級電気絶縁用 | 耐熱性 高強度 一般電気絶縁用 | 耐湿 最高級電気絶縁用 | 耐衝撃性 耐摩耗性 機械用 | 耐熱性 耐摩耗性 | 加温打ち抜き加工性良好 高級電気絶縁用 |

* 実測値

として求めることができる。さらに α と ρc が (2.1), (2.2) 式より求めたなら熱伝導率 k は

$$k = \alpha \cdot \rho c \quad \left[\frac{\text{cal}}{\text{cm} \cdot \text{s} \cdot ^\circ\text{C}} \right] \quad (2.3)$$

として求めることができる。

加熱中は試料平板の裏面、加熱中止後は表面、裏面ともに断熱と仮定したが、実際には熱伝導の小さい空気が試料平板の表面、裏面に境界しているので熱の損失、すなわち熱伝達や輻射により空気中に失なわれる熱損失があるものと考えられる。しかし本測定においてはこのような損失を少なくし、理論的に断熱という条件から導びき出された (2.1)～(2.3) 式を満足するように試料の温度上昇を 10°C 以下におさえることとする。一般に熱的物性値は温度の関数である。本方法による熱的物性値の測定は試料平板の表面から輻射加熱で t^* 時間加熱するわけであるから試料の温度は上昇するしまた試験温度も加熱前の温度と異なってくる。しかし加熱時間および試料の温度上昇はわずかで

あり、この程度の温度変化では一般に熱的物性値は変わらないので試料がおかれた雰囲気の温度を試験温度とみなしてよい。このように考えて $T(^{\circ}\text{C})$ の炉内に試料をおき試料が一様に $T(^{\circ}\text{C})$ になるまで約 30 分間この温度に保持した後、輻射加熱を t^* 時間だけ加えるなら裏面温度の変化を測定し、(2.1)～(2.3)式を用いて $T(^{\circ}\text{C})$ における熱的物性値を求めることができる。

3. 試 料

試料は表 3.1⁶⁾、図 3.1 および表 3.2 に示すように H 社製の強化プラスチックスでフェノール、エポキシ、ポリエステル、シリコン、フランおよびメラミンの各樹脂にガラス布、紙、布、テトロン布、アスベスト布、ナイロン布を基材としたもの 15 種類（大きさ $65 \times 95 \text{ mm}$ ）。表 3.2 に示すように耐熱 FRP 3 種類（大きさ $150 \times 150 \text{ mm}$ ）および 90% は空気といわれる発泡ポリスチレンシート（比重約 0.1、大きさ 150

特 性

| メラミン 樹脂 | 同 左 | シリコーン 樹脂 | エポキシ 樹脂 | 同 左 | フラン 樹脂 | ポリエス テル樹脂 | 同 左 | 同 左 |
|------------------------------------|---|-----------------------------------|--------------------------|-----------------------------|---------------------|----------------------|---------------|---------------|
| 細糸布 | ガラス布 | ガラス布 | ガラス布 | テトロン布 | 細糸布 | 無アルカリ ガラス布 | 含アルカリ ガラス布 | テトロン布 |
| LU-57N | LU-61N | LS-61N | LE-61N | LE-97N | LF-52N | LG-61N | LG-63N | LG-97N |
| 35～50 | 40～50 | — | — | — | — | — | — | — |
| 5～10 | 15～20 | 8～12 | — | — | 8～9 | >15 | >10 | 4～6 |
| 10～15 | 20～30 | 10～20 | 35～45 | 9～15 | >16 | >25 | >20 | >10 |
| 20～30 | 40～50 | 30～45 | — | — | >17 | — | — | — |
| 15～20 | 10～15 | 5～10 | — | — | — | — | — | — |
| 4.5～10 | — | — | 10～15 | 10～20 | — | — | — | — |
| 2～5 | 30～50 | — | — | — | — | — | — | — |
| 140 | 160 | 200 | 180 | 140 | — | — | — | — |
| 1.46 | 1.83 | 1.71 | 1.76 | 1.27 | 1.31 | 1.47 | 1.67 | 1.31 |
| 0.7～1.0 | 1.5～1.9 | 0.2～0.35 | 0.2～0.35 | 0.2～0.4 | 0.9～1.2 | 0.1～0.3 | 0.1～0.3 | 0.3～0.5 |
| 0.91 | 1.82 | 1.61 | 0.99 | 2.08 | 1.85 | 1.08 | 2.22 | 1.52 |
| 耐アーチ性 機械加工良 好 一般電気絶 縁用 | 耐熱性 耐アーチ性 大 高強度 一般電気絶 縁用 | 最高級耐熱 性 耐アーチ性 大 電気絶縁用 | 高絶縁 高耐湿 寸法安定性 大 | 高絶縁 高耐湿 常温打ち 抜き加工用 | 耐食性 耐摩耗性 耐湿熱性 | 高強度 表面平滑 電気絶縁用 | 低価格 機械用 | 常温打ち 抜き加工用 |

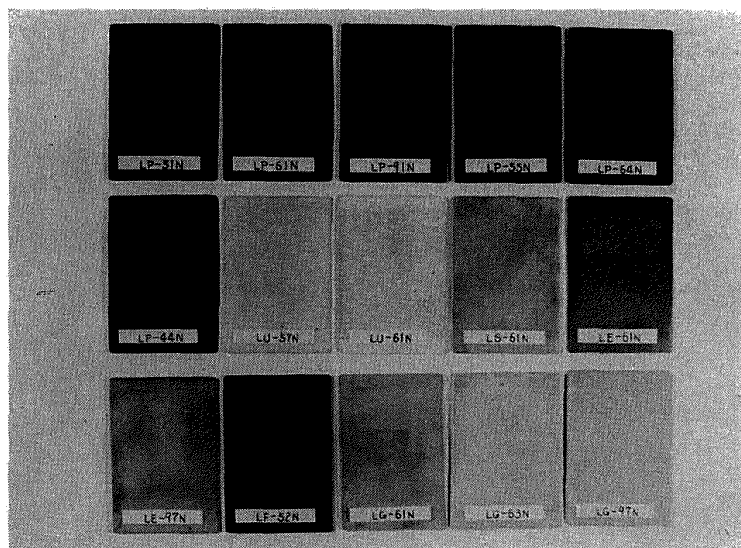
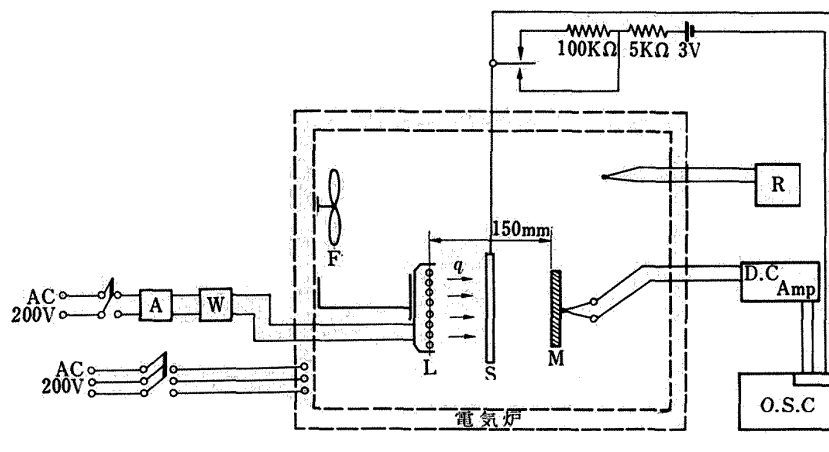


図 3.1 強化プラスチックス試料

表 3.2 耐熱 FRP および発泡ポリスチレンシート

| 試 料 | L P-1 | L P-2 | L P-3 | 発泡ポリスチレンシート |
|---------------------------|------------------------|--------------|--------------|--------------|
| 結 合 剤 | フェノール樹脂 | フェノール樹脂 | フェノール樹脂 | 発泡ポリスチレン |
| 基 材 | グラファイト(4枚) Eガラス(3枚) | Eガラス(6枚) | リフラジル(5枚) | — |
| 加 壓 (kg/cm ²) | 13 | 13 | 13 | — |
| 樹脂含有率 (%) | 41 | 41 | 42 | 空気約 90% |
| 大 き さ (mm) | 150×150×3.24 | 150×150×2.74 | 150×150×3.02 | 150×150×1.10 |



A:スライダックス W:電 力 計 L:赤外線ランプ加熱器
 S:シャッター M:試 料 R:自動温度記録計
 D.C Amp:直流増幅器 O.S.C:直記式電磁オシログラフ F:ファン

図 4.1 热的物性値測定装置

×150) の計 19 種類について行なった。

4. 測定装置および測定法

4.1 測定装置

図 4.1 および図 4.2 に示すように既設の電気炉内に赤外線ランプ加熱器、シャッタ装置、試料固定台お

よび熱電対接続端子をそれぞれ設置し、外部には加熱器に供給する電力を制御するためのスライダックスおよび供給電力を測定するための電力計が赤外線ランプ系統に接続されてある。シャッターにはパイプが取り付けられ、このパイプが電気炉上面まででていて、電気接点をシャッターの開閉につれ作動させ電磁オシ

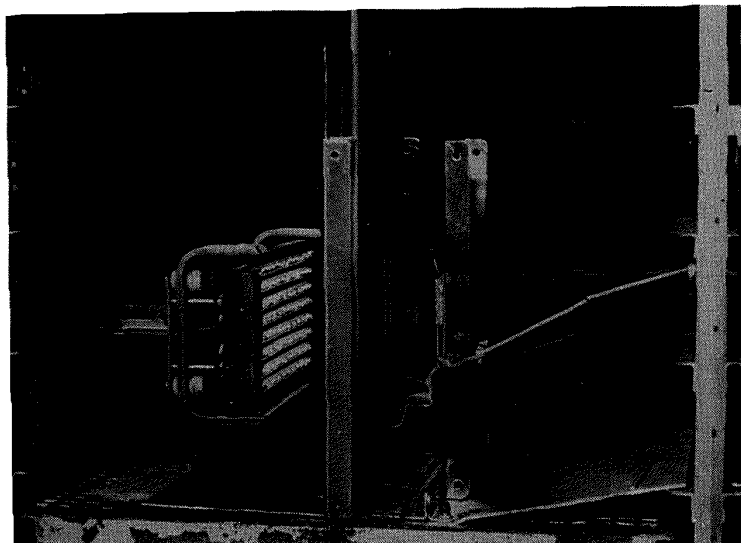


図 4.2 炉内測定装置

表 4.1 使用器具

| 計 器 名 | 型 式 | 規 格 | 備 考 |
|-----------|-------------|---|--------------------------------------|
| 電気精密恒温槽 | 型式 51 | 電源 3φ 200V 容量 4.8 kW 電流 14A 最高温度 400°C 大きさ 400×500×600 mm | 田村製作所 |
| 電磁オシログラフ | Type EMO-1 | 12チャンネル 紙幅 178 mm 紙送り速度 2.5, 5, 10, 25, 50, 100 cm/s cm/m | 横河電機 |
| 直 流 增 幅 器 | Type EM-A31 | Range 100~10 V 10~1V, 1~0.1V, 100~10 mV | 横河電機 |
| 赤外線ランプ加熱器 | | 240Vにて 8 kW 480Vにて 24 kW 管径 10 mm フィラメント長さ 250 mm | 管形赤外線ランプ 8本使用 ランプ・東芝 反射器・リサーチ社 |
| 单 相 電 力 計 | | 60/120/240/600V 25/50A, 单相 | 横河電機 |
| スライダックス | | 電圧 0~260V 最大電流 30A | 山菱電機 |
| 自動温度記録計 | E R-12 | 250/500/750°C 12点, 打点式 | 横河電機 |
| 携帶用電位差計 | Type P-31A | クロメル-アルメル用 0~40 mV, 0~500°C | 横河電機 |

ログラフ上に加熱開始、中止を知らせるマークが入るようになっている。加熱器ランプ中心より 150mm の位置に試料が置かれ、この試料の裏面には熱電対が取り付けられており、この出力電圧を直流増幅器で增幅した後電磁オシログラフに記録される。また電気炉内の温度を常時測れるように雰囲気中にも熱電対が置かれ自動温度記録計に接続されてある。以上のような装置で使用された各器具を表 4.1 に示す。

4.2 測定法

(a) 試料裏面温度の測定について

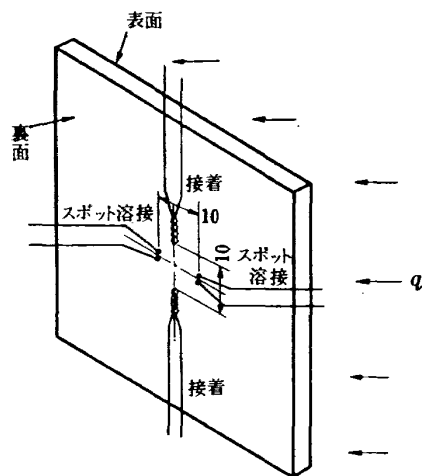


図 4.3 熱電対のスポット溶接
および接着位置

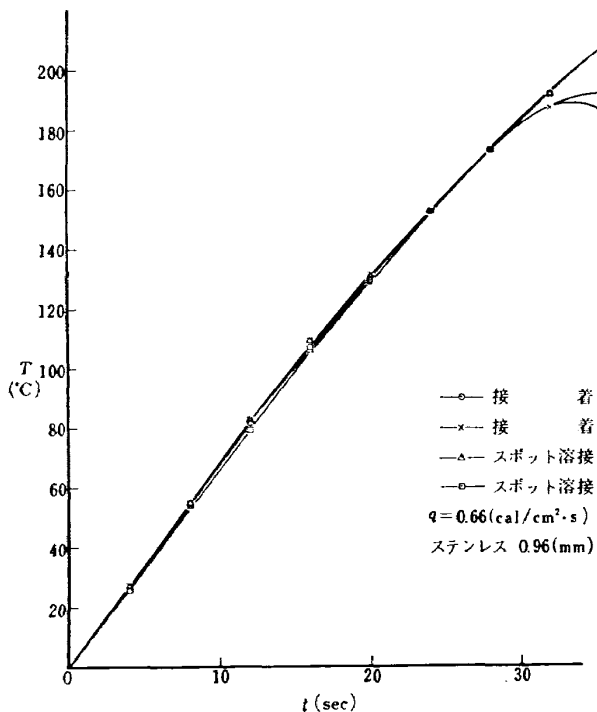


図 4.4 熱電対取り付け方法（接着および
スポット溶接）による平板裏面温
度測定値の比較

試料裏面には 0.1ϕ のクロメル-アルメル 热電対を強力接着剤アロンアルファ #201 を用いて接着してある。普通金属の温度測定には熱電対を溶接して取り付けるが、強化プラスチックスのような非金属には溶接することができない。そこで本測定においては接着剤を用いて取り付けたわけであるが高温になると熱電対が脱落する恐れがあった。そこで図 4.3 のようにステンレス鋼厚さ 0.96 mm の平板裏面に 0.1ϕ クロメル-アルメル 热電対をスポット溶接したものとアロンアルファ #201 を用いて接着したものと比較したところ図 4.4 に示すように 180°C までは脱落もなくかつほとんど誤差なく測れることがわかった。このようにして本測定では常温、 50°C 、 100°C および 150°C の温度について熱的物性値を測定した。

熱電対を用いて温度を測る場合通常図 4.5 のように冷接点 (Cold Junction) を用いて測る。本測定には冷接点を省略して接続端子は図 4.6 のように電気炉内部に配置し、赤外線ランプ加熱器による輻射加熱の温度上昇分だけを記録できるようにした。

試料により異なるが輻射熱量 q で加熱する時間は 20 秒前後であり、また直接輻射加熱を受けないように接続端子は遮蔽してあるので冷接点に相当する接続端子の温度上昇はみとめられない程度である。したがって図 4.5 では図 4.7 の A のような結果が得られるが本測定においては図 4.6 のようにしたので図 4.7 の B のような結果が得られる。このようにすると熱的物性値の測定に必要な温度の変化分のみ記録できる。

(b) 輻射加熱熱量率について

試料を加熱する熱源は赤外線ランプ加熱器より発生

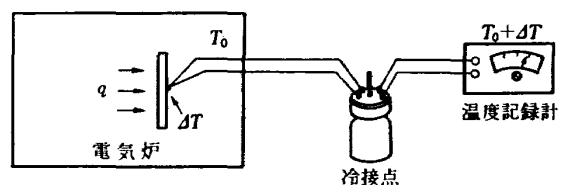


図 4.5 冷接点が零度の場合の
試料温度測定図

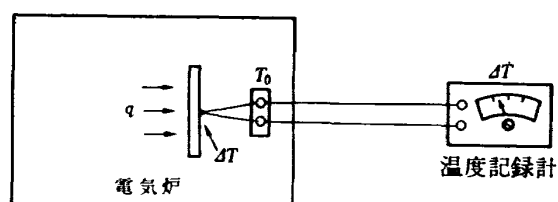


図 4.6 冷接点が炉温の場合の
試料温度測定図

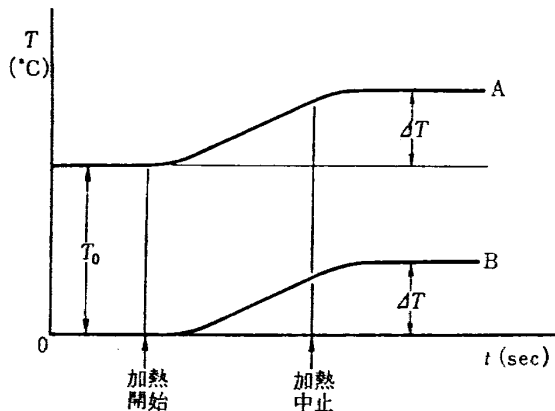


図 4.7 冷接点位置による試料温度上昇の説明図

する輻射熱である。加熱器の電力が一定で加熱器と試料間の距離が一定なとき試料に入る輻射熱量率¹⁾ q は一定で

$$q = \rho c \delta \frac{dT}{dt} \quad [\text{cal}/\text{cm}^2 \cdot \text{s}] \quad (4.1)$$

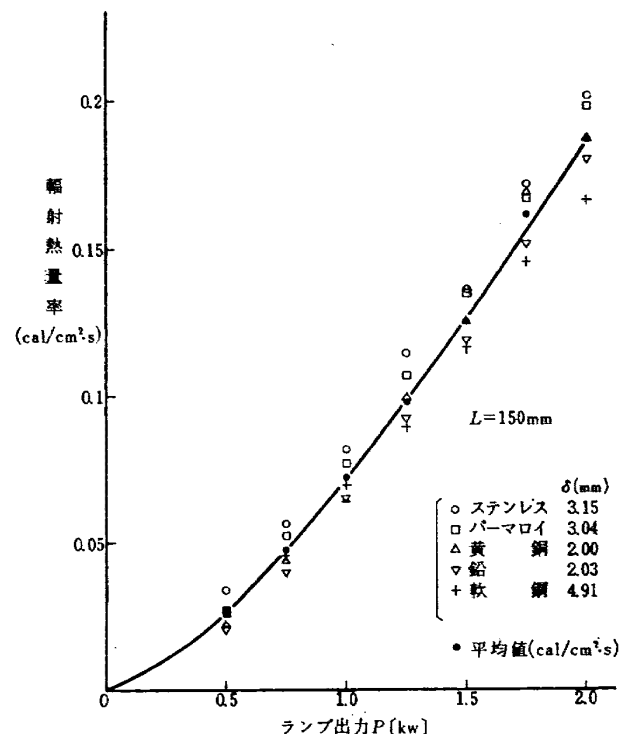
で与えられる。ここで ρc は試料の熱容量で温度の関数である。しかし温度勾配 dT/dt が求められる範囲内で温度上昇を小さくすれば ρc は一定とみてよい。 δ は厚さおよび dT/dt は準定常状態における温度上昇率である。したがって熱容量 ρc および厚さ δ があらかじめわかっている試料を用いて裏面温度の変化を測定し、準定常状態における温度上昇率 dT/dt を知れば (4.1) 式より試料に入る輻射熱量率を知ることができる。この原理にもとづき表 4.2 のような既知の物性値 ρc および試料厚さ δ を得て図 4.1 の装置で加熱器と試料間の距離 150 mm 一定とした場合、加熱器に加える電力 P と試料が受ける輻射熱量率 q の関係を求めると図 4.8 となる。

(c) 热的物性値の測定

加熱源の赤外線ランプ加熱器は図 4.2 の写真にみるように管型赤外線ランプ 8 本を同一平面上で等間隔に平行に取り付けた加熱器である。このランプは管径 10 mm フィラメント長さ 250 mm で、電圧 240V に

表 4.2

| 加熱器出力 | 試 料 | 熱容量 (cal/ cm ³ °C) | 厚さ (mm) | 輻射熱量率 q (cal/ cm ² s) | q の平均値 |
|---------|--------|-------------------------------------|------------|--|----------|
| 0.75 kW | ステンレス鋼 | 0.923 | 3.15 | 0.0562 | 0.04776 |
| | パーマロイ | 0.909 | 3.04 | 0.0552 | |
| | 黄 銅 | 0.782 | 2.00 | 0.0443 | |
| | 鉛 | 0.353 | 2.03 | 0.0401 | |
| | 軟 鋼 | 0.861 | 4.91 | 0.0458 | |

図 4.8 試料入射熱量率 q と加熱器出力 P の関係
(試料—加熱器ランプ間距離 $L=150$ mm)

おける 1 本当りの出力は 1 kW, 倍の 480 V では 3 kW である。

試料の表面よりはいる輻射熱量率 q が試料を変えても、加熱器と試料の距離および加熱器電力が一定のときはつねに同一になるように水溶性の酸化コバルトを表面に塗って黒化してある。

電気炉内温度を T (°C) 一定に保ち 30 分間この温度で保持した後、加熱器に加える電力を 0.75 (kW) [$q=0.04776$ (cal/cm²·s)] 一定とし、電磁オシログラフの紙送り [紙送り速度 = 10 (mm/s)] を始動したのちシャッターを急速に取りのぞく。このとき図 4.1 に示したようにシャッターが加熱器の半分開いたとき加熱開始用接点が働き、記録紙上に加熱開始を知らせるマークが入る。一定時間 t^* だけ加熱した後シャッターを閉じると加熱中止を知らせるマークが再び記録紙上に入るようになっている。これらの様子を示したのが図 2.1 である。記録紙幅は 178 mm で紙幅いっぽいで 10°C の温度変化が記録できるように直流増幅器の利得と電磁オシログラフの減衰器で調整してある。温度記録の較正には携帯用直流電位差計（横河電機・P-31 型）を用いた。

以上のようにして得られた測定結果の一例を図 4.9 に示す。

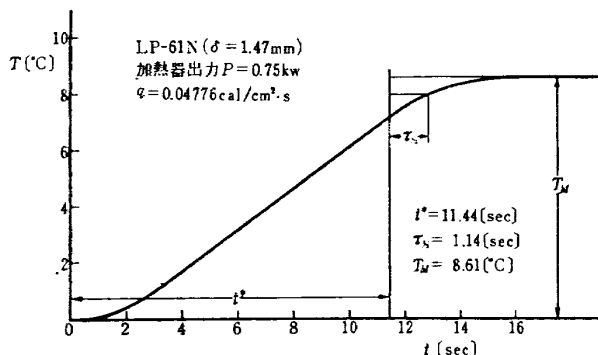


図 4.9 記録例 [LP-61N]

5. 測定結果および結果の検討

5.1 測定結果

15種類の強化プラスチックスの内ガラス布基材にフェノール(LP-61), メラミン(LU-61N), シリコン(LS-91N), エポキシ(LE-61N)およびポリエステル(LG-61N)の各樹脂を変えた強化プラスチックス, フェノール樹脂に対し基材となる紙(LP-44N), 細糸布(LP-51N), 太糸布(LP-55N), ガラス布(LP-61N), アスペスト布(LP-64N)およびナイロン布(LP-91N)を変えた強化プラスチックス, さらにこれらの系統に入らない強化プラスチックスに大別できる。

そこで図5.1には樹脂が熱的物性値におよぼす影響をみるためガラス布基材にフェノール, メラミン, シリコン, エポキシおよびポリエステルの各樹脂を変え

た強化プラスチックスの熱的物性値の温度による特性を示した。

図5.2は基材が熱的物性値におよぼす影響をみるためにフェノール樹脂に紙, 細糸布, 太糸分布, ガラス布, アスペスト布およびナイロン布の各基材を変えた強化プラスチックスの熱的物性値の温度特性を示した。

図5.3は図5.1, 図5.2の系統に入らない強化プラスチックス, 耐熱FRPおよび発泡ポリスチレンの熱的物性値の温度特性を示した。

以上の全結果を示したのが表5.1である。

5.2 結果の検討

(1) 温度伝導率 α

強化プラスチックスの温度伝導率は耐熱FRPと発泡ポリスチレンシートを除き温度の上昇にともない減少する。図5.1および図5.2を比較するとわかるように強化プラスチックスの温度伝導率 α は樹脂より基材となる材料に大きく左右され, アスペスト布基材が最も大きくまた温度上昇によるその値の減少も大きい。一方ナイロン布基材は最も小さい。発泡ポリスチレンシートは強化プラスチックス LG, LE-97N と同程度に小さくまた温度上昇につれての値はわずかに増大する。

(2) 热容量 pc

発泡ポリスチレンシートを除いた強化プラスチックスはすべて温度が上昇すると熱容量 pc が増大し, どの強化プラスチックスの熱容量 pc も同じ程度の値で

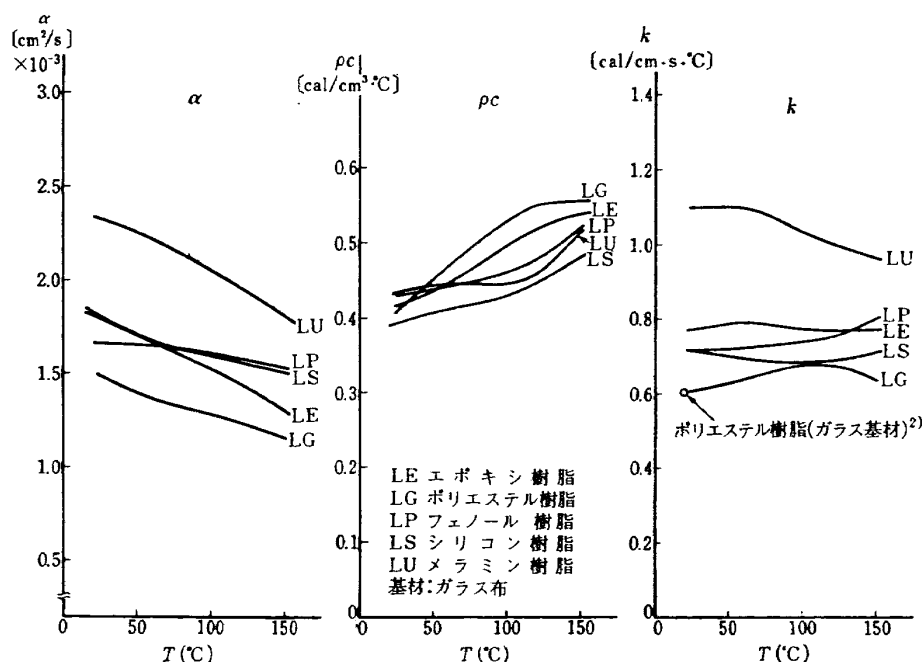


図 5.1 各種樹脂強化プラスチックス (ガラス布基材) の温度による熱的物性値変化

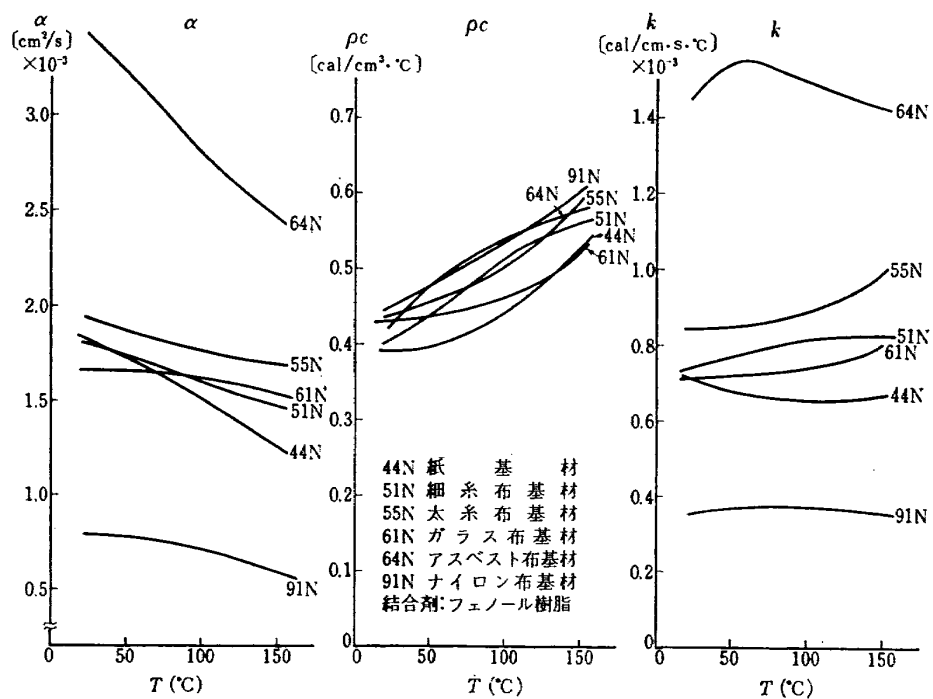


図 5.2 フェノール樹脂強化プラスチックス（各種基材）の温度による熱的物性値変化

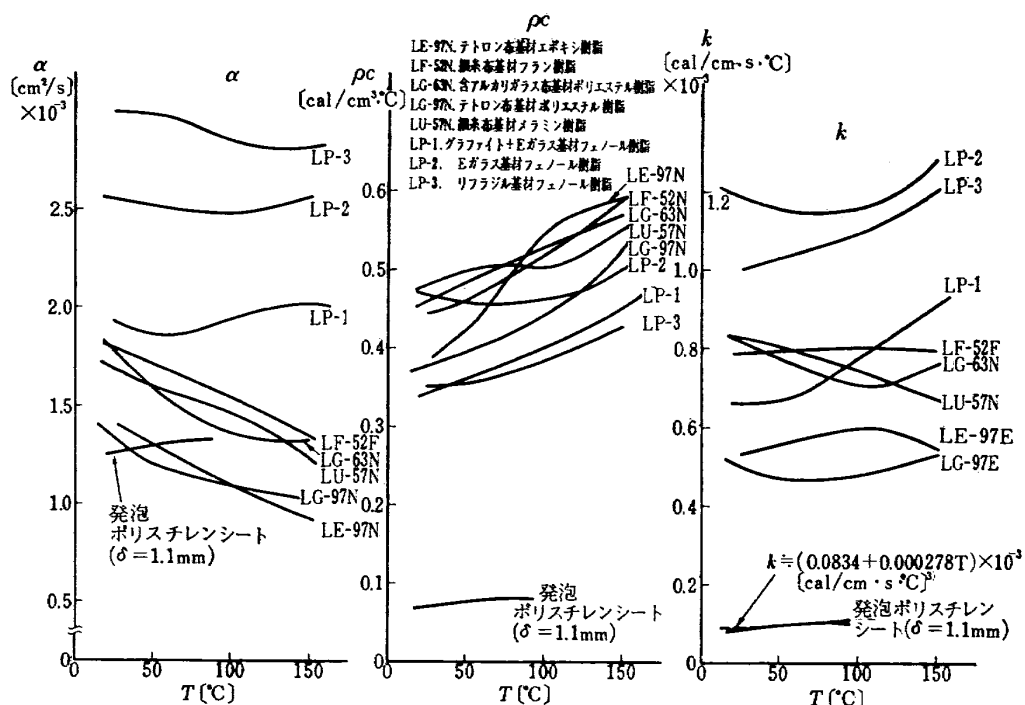


図 5.3 各種強化プラスチックスおよび発泡ポリスチレンシートの温度による熱的物性値変化

表 5.1 強化プラスチックスの熱的物性値測定結果一覧表

| 試 料 | 温度* | 温度伝導率 α (cm ² /s) | 熱容量 ρc (cal/cm ³ °C) | 熱伝導率 k (cal/cm ² °C) | 試 料 | 温度* | 温度伝導率 α (cm ² /s) | 熱容量 ρc (cal/cm ³ °C) | 熱伝導率 k (cal/cm ² °C) |
|--------------------------------------|-----|--|---|--------------------------------------|--|-----|--|---|--------------------------------------|
| フェノール樹脂 (紙基材) L P-44N | 17 | 1.842×10^{-3} | 0.393 | 0.724×10^{-3} | エポキシ樹脂 (ナイロン布基材) L E-97N | 29 | 1.390×10^{-3} | 0.389 | 0.541×10^{-3} |
| | 55 | 1.700 | 0.400 | 0.680 | | 60 | 1.257 | 0.443 | 0.557 |
| | 101 | 1.490 | 0.441 | 0.657 | | 107 | 1.065 | 0.560 | 0.597 |
| | 150 | 1.251 | 0.532 | 0.666 | | 148 | 0.926 | 0.594 | 0.550 |
| フェノール樹脂 (細糸布基材) L P-51N | 21 | 1.802 | 0.410 | 0.738 | フラン樹脂 (細糸布基材) L F-52N | 27 | 1.785 | 0.445 | 0.794 |
| | 59 | 1.738 | 0.450 | 0.782 | | 61 | 1.695 | 0.469 | 0.795 |
| | 101 | 1.575 | 0.515 | 0.811 | | 107 | 1.510 | 0.531 | 0.802 |
| | 151 | 1.472 | 0.561 | 0.827 | | 149 | 1.348 | 0.589 | 0.795 |
| フェノール樹脂 (太糸布基材) L P-55N | 26 | 1.916 | 0.440 | 0.843 | ポリエステル樹脂 (ガラス布基材) L G-61N | 27 | 1.477 | 0.413 | 0.610 |
| | 55 | 1.855 | 0.459 | 0.852 | | 59 | 1.360 | 0.470 | 0.639 |
| | 101 | 1.752 | 0.505 | 0.885 | | 102 | 1.279 | 0.533 | 0.682 |
| | 147 | 1.685 | 0.585 | 0.985 | | 146 | 1.160 | 0.554 | 0.642 |
| フェノール樹脂 (ガラス布基材) L P-61N | 26 | 1.660 | 0.431 | 0.715 | ポリエステル樹脂 (含アルカリ ガラス布基材) L G-63N | 18 | 1.828 | 0.455 | 0.832 |
| | 57 | 1.645 | 0.440 | 0.724 | | 56 | 1.550 | 0.493 | 0.763 |
| | 110 | 1.590 | 0.470 | 0.747 | | 98 | 1.365 | 0.522 | 0.713 |
| | 147 | 1.538 | 0.520 | 0.800 | | 148 | 1.323 | 0.572 | 0.757 |
| フェノール樹脂 (アスペスト 布基材) L P-64N | 27 | 3.400 | 0.431 | 1.465 | ポリエステル樹脂 (テトロン布基材) L G-97N | 16 | 1.394 | 0.370 | 0.517 |
| | 60 | 3.160 | 0.490 | 1.548 | | 53 | 1.188 | 0.399 | 0.474 |
| | 102 | 2.762 | 0.539 | 1.490 | | 102 | 1.086 | 0.442 | 0.480 |
| | 149 | 2.455 | 0.584 | 1.432 | | 150 | 1.020 | 0.529 | 0.534 |
| フェノール樹脂 (ナイロン布基材) L P-91N | 25 | 0.782 | 0.449 | 0.351 | フェノール樹脂 (グラファイト 基材) L P-1 | 25 | 1.94 | 0.342 | 0.663 |
| | 53 | 0.765 | 0.480 | 0.367 | | 56 | 1.83 | 0.361 | 0.661 |
| | 103 | 0.693 | 0.532 | 0.369 | | 103 | 1.96 | 0.401 | 0.787 |
| | 151 | 0.592 | 0.605 | 0.358 | | 160 | 2.02 | 0.467 | 0.943 |
| メラミン樹脂 (細糸布基材) L U-57N | 20 | 1.756 | 0.476 | 0.836 | フェノール樹脂 (Eガラス基材) L P-2 | 19 | 2.56 | 0.469 | 1.20 |
| | 58 | 1.570 | 0.508 | 0.798 | | 55 | 2.52 | 0.452 | 1.14 |
| | 107 | 1.447 | 0.505 | 0.731 | | 103 | 2.48 | 0.467 | 1.16 |
| | 151 | 1.230 | 0.551 | 0.677 | | 151 | 2.57 | 0.505 | 1.29 |
| メラミン樹脂 (ガラス布基材) L U-61N | 25 | 2.328 | 0.471 | 1.098 | フェノール樹脂 (リフラジル基材) L P-3 | 30 | 2.99 | 0.354 | 1.06 |
| | 60 | 2.221 | 0.495 | 1.100 | | 56 | 2.95 | 0.352 | 1.04 |
| | 105 | 2.065 | 0.495 | 1.022 | | 105 | 2.83 | 0.390 | 1.10 |
| | 151 | 1.799 | 0.537 | 0.967 | | 155 | 2.82 | 0.427 | 1.20 |
| シリコン樹脂 (ガラス布基材) L S-61N | 20 | 1.823 | 0.391 | 0.713 | 発泡ポリスチレン シート | 27 | 1.260 | 0.0712 | 0.0898 |
| | 62 | 1.665 | 0.415 | 0.691 | | 49 | 1.294 | 0.0755 | 0.0976 |
| | 110 | 1.630 | 0.433 | 0.677 | | 62 | 1.310 | 0.0795 | 0.1040 |
| | 145 | 1.510 | 0.478 | 0.720 | | 86 | 1.326 | 0.0817 | 0.1083 |
| エポキシ樹脂 (ガラス布基材) L E-61N | 27 | 1.775 | 0.437 | 0.776 | * 炉内温度 + $\frac{T_M}{2}$ | | | | |
| | 61 | 1.673 | 0.489 | 0.818 | | | | | |
| | 104 | 1.502 | 0.509 | 0.765 | | | | | |
| | 149 | 1.338 | 0.580 | 0.777 | | | | | |

ある。発泡ポリスチレンシートの値は強化プラスチックスの1/5程度で温度の影響はごくわずかである。

(3) 热伝導率 k

热伝導率 k の値は試料によりまちまちであるが温度伝導率と同様に図5.1、図5.2より明らかなように強化プラスチックスの結合剤である樹脂より基材となる材料に大きく影響され、アスペスト布基材が最も大きく、ナイロン布基材が発泡ポリスチレンシートを除き最も小さい。発泡ポリスチレンシートは最も k の大きいLP-64N 強化プラスチックスの約1/14、最も小さいLP-91N 強化プラスチックスの約1/4で空気が試料中に含有するといかに熱を通しにくくなるかということがわかる。

温度による強化プラスチックスの熱伝導率 k の変化は試料により増大、減少およびあまり変化のないものがあり、定まった傾向は見られなかった。

(4) 比熱 c

比熱 c は本方法によって直接求めることはできない。しかし熱容量 pc が求まるので比重量 ρ がわかれば比熱 c を求めることができる。比重量 ρ も温度と共に変化するものと考えられるが、150°C程度までならあまり変化はないといわれているので図5.4に常温における比重量 ρ を用いて熱容量 pc より求めた比熱 c の値を参考までに示した。図より明らかなように強化

プラスチックスの比熱は温度上昇にともない増加する傾向にあり、またガラス布を基材とした強化プラスチックスの比熱は他の強化プラスチックスの比熱より温度による増加は少ないことがみとめられる。

以上熱的物性値の温度による影響について検討した。強化プラスチックスの熱的物性値はさらに図5.1～図5.3にみられるように使用する材料すなわち結合剤である樹脂および基材によっても大きく左右される。特に基材による影響が大きいので、いま伝熱工学資料⁵⁾にある基材と同じ材料の熱伝導率を表5.2に示し、表5.3には同じ材料を基材としフェノール樹脂を用いた強化プラスチックスの熱伝導率を示す、これらの比較検討を行なってみる。

表5.2および表5.3より強化プラスチックスの基材となった素材の熱伝導率順位とこれらの素材を布にして強化プラスチックスにした場合の熱伝導率順位との間には何らの関係もみうけられない。したがって基材となる材料の熱伝導率が小さくとも、これを用いた強化プラスチックスでは必ずしも小さいとはいえない。このようになる原因は素材とこれを布にした基材とは性質が異なり、また同じ布でも布の織り方、繊維の太さ等にも関係すること、図5.3にも示したように空気含有率の大きい発泡ポリスチレンシートは非常に熱伝導率の小さいことから考え、強化プラスチックス

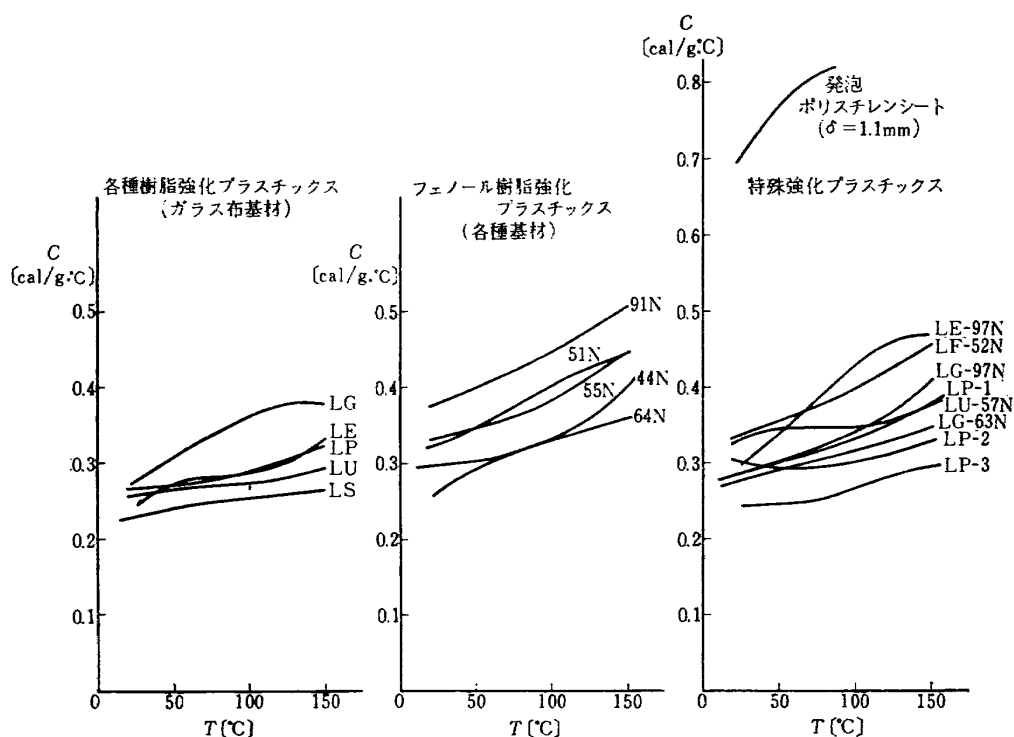


図5.4 各種強化プラスチックスおよび発泡ポリスチレンシートの温度による比熱変化図

表 5.2

| 大きい順位 | 材 料 | k^* (cal/cms°C) | 温 度 (°C) |
|-------|--------|-----------------------|-------------|
| 1 | ガ ラ ス | 1.81×10^{-3} | 20 |
| 2 | 紙 | 0.306 | 20 |
| 3 | も め ん | 0.134 | 30 |
| 4 | アスベスト紙 | 0.128 | 40 |

* 伝熱工学資料

表 5.3

| 大きい順位 | フェノール樹脂強化 プラスチックス・基材 | k (cal/cms°C) | 温 度 (°C) |
|-------|-------------------------|-----------------------|-------------|
| 1 | アスベスト布 | 1.54×10^{-3} | 50 |
| 2 | 細 糸 布 | 0.77 | 50 |
| 3 | ガ ラ ス 布 | 0.72 | 50 |
| 4 | 紙 | 0.68 | 50 |

を加工する際に混入する気泡量が基材により相異するためと考えられ、さらに樹脂と基材の混合率の相異等の影響があるものと思われる。

5.3 測定値の比較

H社製の強化プラスチックス試料の機械的性質は表3.1に示すように与えられているが樹脂含有率とか布の状態等は与えられていない。そこで正確な比較は行なえないが樹脂と基材とがわかっているので一応のめやすとなる比較検討を行なうこととする。

まずポリエステル樹脂にガラス布基材の強化プラスチックスの常温における熱伝導率²⁾を図5.1上に示す。

また発泡ポリスチレンシートの温度による熱伝導率の概算の値³⁾ { $k = 0.0834 + 0.000278T \times 10^{-3}$ [cal/cm·s·°C]} が与えられているのでこれを図5.3に示す。

いずれの場合も非常に良い一致を示していることがわかる。次にフェノール、ポリエステル、エポキシおよびシリコンの各樹脂にガラス布基材とした強化プラスチックスの熱伝導率の温度変化⁴⁾を図5.5に示し、図中に本測定によって得られた結果を点線で示した。これらの図の曲線はそれぞれ測定者、測定法、比重、樹脂含有率がことなるため、かなりのバラッキがみられる。

比熱⁴⁾についてもフェノール、ポリエステル、エポキシおよびシリコン樹脂にガラス布基材とした強化プラスチックスについて求めたものを図5.6に示した。これらの図によると比熱は5.2の(4)比熱の項で検討したようにあまり良い値を期待していなかったが傾向およびその値ともに比較的良い値が得られている。

6. む す び

強化プラスチックスの熱的物性値すなわち温度伝導率、熱容量および熱伝導率を赤外線ランプ加熱器による輻射加熱を利用して平板試料の裏面温度上昇を測定することにより求めた。これらの熱的物性値は常温の

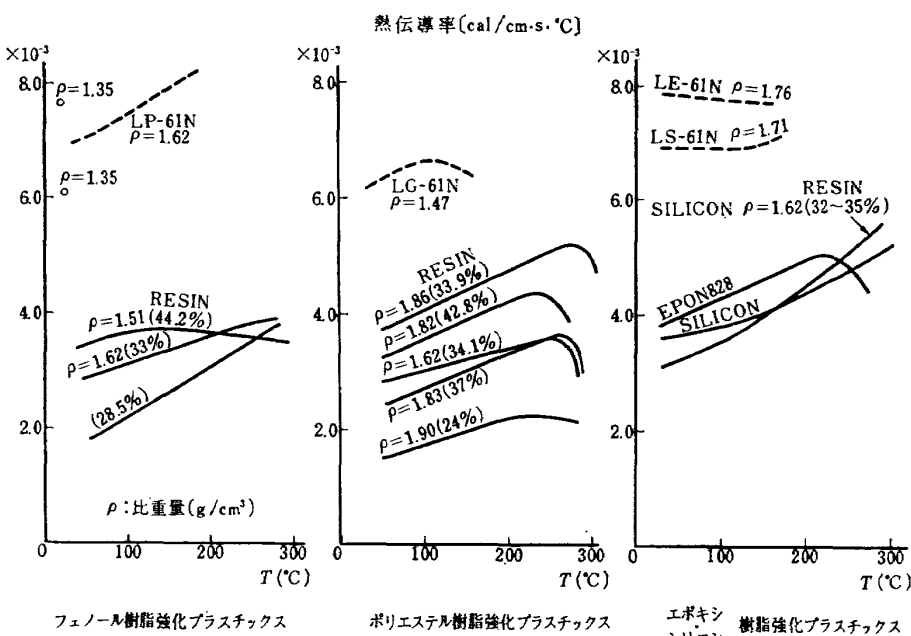


図 5.5 温度による各種強化プラスチックスの熱伝導率変化

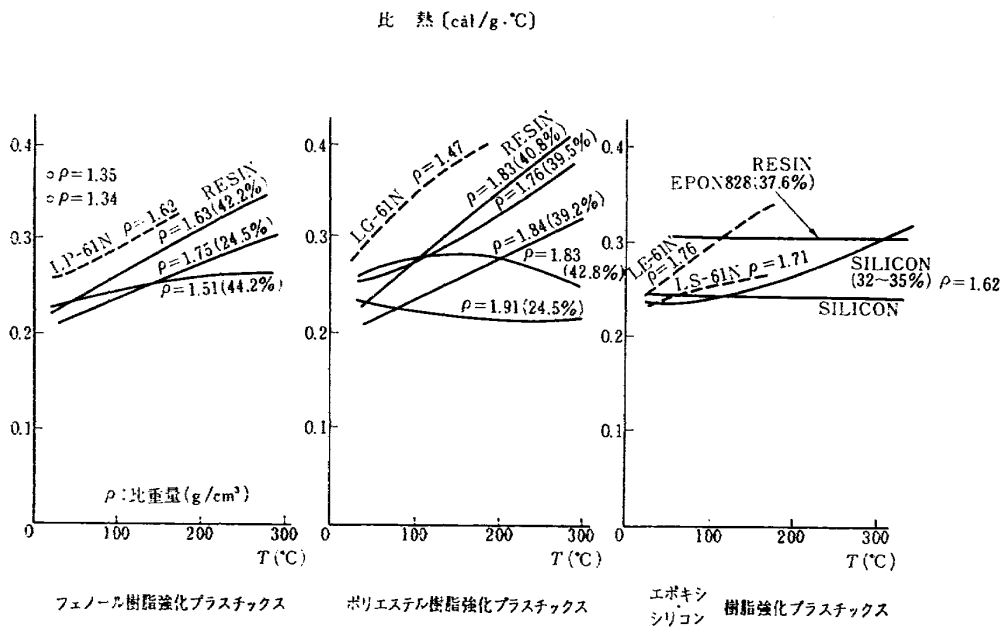


図 5.6 溫度による各種強化プラスチックスの比熱変化

みならず電気炉内で測定を行なうことにより 150°C までの高温における値を求めることができた。

測定結果より強化プラスチックスの熱的物性値の温度による影響および使用材料による影響は

1) 温度伝導率

温度の上昇とともにその値は減少する。樹脂より基材となる材料がその値に大きく影響する。

2) 热 容 量

温度の上昇とともにその値は増大する。樹脂および基材の影響はあまり受けない。

3) 比 熱

温度の上昇とともに増大する。ガラス布を基材とする強化プラスチックスは他の強化プラスチックスに比較して温度による増加率が小さい。樹脂および基材の影響はあまりない。

等である。

熱的物性値の測定は一般的に非常に困難で、測定値についても一致しないことが多い。図 5.5～図 5.6 に示したように同じ強化プラスチックスでも測定法、使用材料、樹脂と基材の比率等により大きく相異する。したがって強化プラスチックスを高速飛しょう体に用いた場合、その熱的物性値を必要とするなら同一条件で作られた試料の熱的物性値を測定することが必要である。このようなことからも輻射加熱による固体の熱的物性値測定法は簡単に熱的物性値を測定できるので何かと便利である。

最後に本研究を行なうにあたって、強化プラスチックスを提供して下さった日立化成工業株式会社、東京

営業所絶材課永瀬邦英氏、国策パルプ中央研究所土田幸造氏ならびに終始有意義な御指導を賜った機体第一部熱弹性研究室長竹中幸彦技官に深く感謝の意を表わします。

文 献

- 1) 小川鉱一; 輻射加熱による熱的物性値測定法, 日本機械学会講演論文集 No.177, 822, 42年4月 (航空宇宙技術研究報告 TR-128)
- 2) H. Schuh; Heat Transfer in Structures pp. 133, Pergamon Press 1965.
- 3) 甲藤好郎; 伝熱概論 pp. 17, 養賢堂 1964.
- 4) "Handbook of Thermophysical Properties of Solid Materials" Vol. IV, The Macmillan Company N.Y, 1961.
- 5) 伝熱工学資料; 日本機械学会, 改訂第2版
- 6) 日立合成樹脂積層板カタログ

既 刊 報 告

- TR-1 遷音速風胴測定部に関する予備実験
Preliminary Investigation of N. A. L. Transonic Wind-Tunnel Test-Section
- TR-2 遷音速風胴用 22.5MW 主送風機
I. 模型送風機による性能試験
22.5MW Main Blower for N. A. L. Transonic Wind Tunnel
I. Performance Test of the Model Blower
- TR-3 風胴用角度計の試作実験
An Experiment on Angle Measuring Instruments of Airplane Models in Wind Tunnel Test
- TR-4 回転円板の強度
Strength of Rotating Discs
- TR-5 航空技術研究所 (60cm × 60cm) 遷音速フラッタ試験設備の計画と整備試験
Design and Development of N. A. L. 60cm × 60 cm Transonic Blowdown Wind Tunnel for Flutter Testing
- TR-6 高温歪ゲージの温度特性
Temperature Characteristics of High Temperature Strain Gage
- TR-7 遷音速風胴の測定部
On the Transonic Test Section
- TR-8 繰返し荷重試験装置の予備試験
Preliminary Study for Development of Repeated Load Testing Rigs for Full-Scale Aircraft Structures
- TR-9 遷音速流小擾乱理論の研究 (I)
—非線型補正理論—
Studies on the Small Disturbance Theory of Transonic Flow (I)
—Non-Linear Correction Theory—
- TR-10 嘘違い角の大きい減速翼列の研究
Cascade Tests of High Stagger Compressor Blades
- TR-11 軟鋼円板の回転による降伏
Yielding of Rotating Discs of Mild Steel
- TR-12 薄肉開断面梁の自由振動について
On the Natural Vibration of Thin-Walled Beams of Open Cross Section
- TR-13 衝撃波と境界層の干渉についての実験的研究
Experimental Results of the Interaction between Shock Wave and Turbulent Boundary Layer
- TR-14 電磁流体の圧縮性境界層
On Compressible Boundary Layer in Magnetodynamics
- TR-15 振動翼用圧力ピックアップの試作・較正
Miniature Pressure Pickups for Measuring the Pressure on Oscillating Airfoils in Supersonic Flow
- TR-16 放物型偏微分方程式の混合境界値問題の差分法による数値解法
On the Difference Method Solutions of the Mixed Boundary Value Problems of Parabolic Partial Differential Equations
- TR-17 荷電ビームによる気流密度測定の理論的考察
A Theoretical Comment on the Charge-Beam Method of Measuring Gas Density
- 1960年2月 平木一, 石井孝雄
大島信彦
- 1960年5月 山内正男, 松木正勝
塩入淳平, 富永守之
- 1960年8月 小橋安次郎, 長州秀夫
高島一明, 波木井潔
- 1960年9月 佐藤和郎, 永井文雄
- 1960年12月 中井暎一, 橋爪宏
中村泰治
- 1960年12月 竹中幸彦
- 1961年1月 村崎寿満
- 1961年3月 竹内和之, 飯田宗四郎
- 1961年3月 細川巖
- 1961年3月 松木正勝, 高原北雄
西脇英夫, 森田光男
- 1961年4月 佐藤和郎, 永井文雄
- 1961年5月 川井忠彦, 塙武敏
- 1961年7月 須郷道也, 伝田幸雄
- 1961年7月 須郷道也, 小沢五郎
- 1961年8月 石井孝雄, 柳沢三憲
- 1961年12月 樋口一雄, 三好甫
- 1961年12月 和田勇, 細川巖
三好甫

| | | |
|-------|--|---|
| TR-18 | 前置静翼翼列と喰違い角の大きい減速翼列の二次元低速翼列性能と回転翼列性能との比較 Comparison of Inlet Guide Vane and High Stagger Compressor Blade Performance in a Rotor and in Cascade | 1961 年 11 月 松木 正勝 |
| TR-19 | 高速翼車の回転強度 Strength of High-Speed Rotor | 1961 年 12 月 佐藤 和郎, 永井 文雄 |
| TR-20 | Blasius 型微分方程式の両側無限遠境界値問題の数値解法 A Numerical Method for Solving Blasius' Type Differential Equation | 1962 年 1 月 橋口 一雄, 戸川 隼人 |
| TR-21 | 遷音速における二次元線縦面の研究 (I) An Investigation of Two-dimensional Control Surface at Transonic Speed (I) | 1962 年 1 月 神谷 信彦 |
| TR-22 | 変断面梁の曲げ自由振動について On the Free Lateral Vibration of a Beam with Variable Cross Section | 1962 年 2 月 川井 忠彦, 戸川 隼人 林 洋一 |
| TR-23 | いくつかの型の偏微分方程式の境界値問題のモンテカルロ法による解法とその実験 Monte Carlo Solutions of the Boundary Value Problems for Some Types of Partial Differential Equations | 1962 年 2 月 橋口 一雄, 高橋 利之 鳥海 良三 |
| TR-24 | 航空技術研究所のターボ・ジェットエンジン要素試験設備 Test Facilities of Turbo-jet Engine Components at N.A.L. | 1962 年 2 月 航空技術研究所原動機部 |
| TR-25 | 航空技術研究所 2m × 2m 遷音速風胴の計画と構造 Design and Construction of the 2m × 2m Transonic Wind Tunnel at the National Aeronautical Laboratory | 1962 年 3 月 航空技術研究所 |
| TR-26 | 吹出式超音速風胴のノズルの予備実験 Preliminary Tests of Supersonic Nozzles for the Supersonic Blowdown Wind Tunnel | 1962 年 3 月 河崎 俊夫, 岡部 純二郎 尾形 吉和, 安藤 尚 |
| TR-27 | 非定常遷音速流の近似解所 An Approximate Analysis for Unsteady Transonic Flow | 1962 年 7 月 細川 巍, 三好 寿 |
| TR-28 | Studies on the Small Disturbance Theory of Transonic Flow(I) —Nonlinear Correction Theory— | July 1962 Iwao Hosokawa |
| TR-28 | 疲労亀裂について On Fatigue Cracks | 1962 年 8 月 竹中 幸彦 |
| TR-29 | 1m × 1m 吹出式超音速風胴の計画と構造 On the Design and Construction of the 1m × 1m Supersonic Blow-down Wind Tunnel | 1962 年 10 月 空気力学第二部 |
| TR-30 | 平板翼の振動について On the Natural Vibration of Plate-Like Wings | 1962 年 10 月 川井 忠彦, 塙 武敏 戸川 隼人, 高橋 利之 趣出慎一 |
| TR-31 | 熱応力を受ける薄翼の安定とその微小振り振動について On the Instability and Small Natural Torsional Vibration of a Thin Wing under Thermal Stress | 1962 年 11 月 川井 忠彦, 林 洋一 戸川 隼人 |
| TR-32 | 補強板の圧縮強度に関する一解析 A Method of Analysis on the Compressive Strength of Stiffened Plates | 1962 年 11 月 川井 忠彦, 江川 幸一 |
| TR-33 | 主翼線返し荷重試験装置 Repeated Load Testing Rigs for Full-Scale Aircraft Wing Structures | 1962 年 12 月 竹内 和之, 飯田宗四郎 小野 幸一 |

| | | |
|-------|---|---|
| TR-34 | 高速軸流圧縮機の研究 (I) —翼型と翼列の検討— An Investigation of High Speed Axial Flow Compressor (I) —The Selection of Compressor Cascade— | 1963年1月 松木正勝, 大山耕一 宮地敏雄 |
| TR-35 | 高速軸流圧縮機の研究 (II) —単段試験装置の設計と全体性能— An Investigation of High Speed Axial Flow Compressor (II) —Design and Over-all Performance of a Single Stage Axial Flow Compressor— | 1963年1月 松木正勝, 宮地敏雄 大山耕一, 吉田晃 西脇英夫, 岩部柱相 |
| TR-36 | 衝撃波風洞による表面熱伝達の実験 Studies of Surface Heat Transfer Using a Hypersonic Shock Tunnel | 1963年1月 和田勇, 松崎利一 |
| TR-37 | Studies of the Flow in a Low Pressure Hypersonic Shock Tunnel Using an Electron-Beam Densitometer | Jan. 1963 Isamu WADA |
| TR-38 | 鋳鉄のような脆性材料からなる円板の回転強度 Strength of Rotating Discs of Brittle Material like Cast Iron | 1963年1月 佐藤和郎, 永井文雄 |
| TR-39 | 高負荷燃焼器の研究 (第1報) —その性能におよぼす各種因子の影響の定性的考察— A Study of High Intensity Combustor (I) —Its Qualitative Analysis— | 1963年2月 大塚貞吉, 鈴木邦男 |
| TR-40 | 胴体内圧繰返し荷重試験装置について Repeated Load Testing Facility for Full-Scale Aircraft Fuselage Structures | 1963年2月 竹内和之, 川島矩郎 野原利雄 |
| TR-41 | 輻射熱量計の較正 Calibration of Radiometer | 1963年2月 竹中幸彦, 江川幸一 小川鉱一 |
| TR-42 | 非定常境界層の相似解とその安定 A Similar Solution of Unsteady Laminar Boundary Layer and Its Stability Characteristics | 1963年7月 小橋安次郎, 恩地瑛 |
| TR-43 | 超音速における操縦面の効きについて On the Effectiveness of Control Surfaces in Supersonic Flow | 1963年2月 河崎俊夫 |
| TR-44 | 高速翼列の実験について (流入角の大きい減速翼列の予備実験) Some Notes about the Effect of Tunnel Configuration and Testing Technique on Compressor Cascade Performance | 1963年2月 近藤博, 菅田光弘 坂口一, 山崎紀雄 |
| TR-45 | 固有値問題 ($\sum \lambda_k A_k$) $x=0$ の数値解法 A Numerical Method for the Eigenvalue Problem ($\sum \lambda_k A_k$) $x=0$ | 1963年4月 戸川隼人 |
| TR-46 | 翼の固有振動数に関する一解折法 On the Vibration Analysis of Aircraft Wings | 1963年6月 川井忠彦, 泉日出夫 戸川隼人, 林洋一 |
| TR-47 | 鋳鉄円板の回転破壊におけるコリオリの力の影響 Influence of Coriolis' Force on the Burst of Rotating Disc of Cast Iron | 1963年7月 佐藤和郎, 永井文雄 |
| TR-48 | 曲面に沿う境界層 Effects of Surface Curvature on Laminar Boundary-Layer Flow | 1963年8月 林二誠 |
| TR-49 | 高速軸流圧縮機の研究 (III) —翼の厚さの影響— An Investigation of High Speed Axial Flow Compressor (III) —Effects of Blade Thickness— | 1963年9月 松木正勝, 宮地敏雄 大山耕一, 吉田晃 西脇英夫, 岩部柱相 |

| | | |
|--------|--|---|
| TR-50 | 境界収縮法による偏微分方程式の境界値問題の数値解法 Numerical Method for Boundary Value Problems of Partial Differential Equations by Boundary Contraction | 1963年9月 樋口一雄, 能美力 |
| TR-51 | 人間の静的不安定系の制御能力 Human Control Ability of the Statically Unstable System | 1963年9月 武田峻 |
| TR-52 | 粒状加熱器の熱特性 Thermal Characteristics of a Pebble-Bed Heater | 1963年10月 林二誠 |
| TR-53 | 円管流の非定常熱伝達（第1報） —壁温が時間と流向距離のみによる場合— Thermal Characteristics of the Unsteady Flow through a Circular Pipe whose Temperature depends on Time and Flow-Directional Distance only | 1963年10月 林二誠 |
| TR-54 | 偏微分方程式の混合境界値問題の差分法による数値解法 Difference Method for the Mixed Boundary Value Problems | 1963年10月 三好甫 |
| TR-55 | ボスをもった車盤の回転強度 Rotating Strength of Rotor which Has a Boss | 1963年11月 佐藤和郎, 永井文雄 |
| TR-56 | 亜音速および遷音速における二次元非定常空気力の測定（第1報） Measurements of the Unsteady Airloads for Two-Dimensional Flow at Subsonic and Transonic Speed Range (I) | 1963年11月 中村泰治, 田辺義一 |
| TR-57T | Measurements of the Aerodynamic Derivatives of an Oscillating Biconvex-Flat Airfoil in Supersonic Flow at Mach Number 2 to 3 | Jan. 1964 Takao ISHII Mitsunori YANAGISAWA |
| TR-58 | 高度500フィートないし10,000フィートにおける上下突風の測定および解析 Measurements and Analyses of Gust Velocities from 500 to 10,000 feet Altitude | 1964年1月 竹内和之, 小野幸一 山根皓三郎 |
| TR-59 | 磁気テープデータ処理設備とその性能 The Magnetic Tape Date Reduction System and Its Performance | 1964年1月 田畠淨治, 中正夫 山本芳樹, 三浦雅男 |
| TR-60 | 変厚平板翼の振動について On the Natural Vibration of Plate-Like Wings of Variable Thicknees | 1964年1月 塙武敏, 趣出慎一 戸川隼人, 川井忠彦 |
| TR-61 | 後退角45°, テーパ比0.6の薄い片持翼の遷音速におけるフラッタ特性におよぼすマッハ数の影響の実験的研究 Some Effects of Mach Number on the Transonic Flutter Characteristics of Thin Cantilever Wings Having a Taper Ratio 0.6 and a Sweptback Angle of 45° | 1964年2月 中井暎一, 小原瑛 |
| TR-62 | 超音速における翼端板効果 The Effects of the End-plates at Supersonic Speeds | 1964年2月 尾形吉和 |
| TR-63 | 非定常流中の円柱に作用する空気力について Aerodynamic Forces Acting on a Circular Cylinder in Unsteady Flow | 1964年2月 小橋安次郎, 遠藤浩 北村清美 |
| TR-64 | 航空力学における磁わい計器の応用 Some Developments of the Magnetostriction Type Measuring Instruments for the Study of Aircraft Dynamics | 1964年3月 幸尾治朗 |
| TR-65 | 非定常境界層の安定に関する実験 An Experimental Investigation of Stability Characteristics of Unsteady Laminar Boundary Layer | 1964年7月 小橋安次郎, 恩地瑛 |

| | | |
|--------|---|---|
| TR-66 | 変分法による平板翼の撓み、振動解における自然境界条件の数値的吟味(片持平板翼の場合) Numerical Examination on the Fulfilment of Natural Boundary Conditions by the Approximate Solutions for Bending and Vibration of Thin Elastic Plates based on the Rayleigh-Ritz's Procedure (in Case of Cantilevered Wing Plates) | 1964年6月 川井忠彦, 塙武敏 越出慎一, 戸川隼人 落合薰 |
| TR-67 | プラズマ発生装置の諸特性 Characteristics of a Vortex Stabilized Plasma Generator | 1964年4月 井上建二, 野村茂昭 |
| TR-68 | 回転翼の線型理論(I) 一揚力面理論ー Linearized Aerodynamic Theory of Rotor Blades (I)—Lifting Surface Theory— | 1964年6月 市川輝雄 |
| TR-69 | 高速軸流タービンの研究(I) —(タービンノズル円環翼列の研究)— An Investigation of the High Speed Axial Flow Turbine(I) —An Investigation of the Annular Turbine nozzle Cascade— | 1964年7月 烏崎忠雄, 能瀬弘幸 森田光男 |
| TR-70 | 汎用飛行シミュレータ設備の計画, 構造および特性 Design, Construction and Characteristics of Flight Simulator at National Aerospace Laboratory | 1965年1月 松浦陽恵, 桶口一雄 池谷光栄, 堀川勇壮 村上力, 百名盛之 三好範子, 岡部正典 |
| TR-71 | 塑性の三方向せん断理論 塑性変形による異方性 塑性流動に及ぼす中間主応力の影響 応力状態と塑性変形の形 Three-Shear Theory of Plasticity Anisotropy Due to Plastic Deformation Influence of Intermediate Principal Stress on Plastic Flow Strain Ratio Relationship in Plastic Deformation | 1964年7月 中西不二夫, 佐藤和郎 |
| TR-71T | Three Shear Theory of Plasticity Anisotropy Due to Plastic Deformation Influence of Intermediate Principal Stress on Plastic Flow Strain Ratio Relationship in Plastic Deformation Internal Shearing Resistances in the Three Shear Theory of Plasticity | Sep. 1964 Fujio NAKANISHI Yasuo SATO |
| TR-72 | 補助翼バズに関する一実験 Some Experiments on Control-Surface Buzz | 1965年1月 中村泰治, 田辺義一 |
| TR-72T | Some Experiments on Control-Surface Buzz | Nov. 1964 Yasuharu NAKAMURA Yoshikazu TANABE |
| TR-73 | 軸対称激み点付近の溶融層の安定性 Stability of the Melted Layer near the Axisymmetric Stagnation Point | 1964年11月 相原康彦 |
| TR-74 | 遷音速パネルフラッタの研究 The Experimental and Theoretical Studies of Transonic Panel Flutter | 1964年11月 石井孝雄, 柳沢三憲 |
| TR-75 | 統計流体力学の初期値問題について —Hopf特性汎関数方程式の一般解— On the Initial-Values Problem in Statistical Hydromechanics —A General Solution of the Hopf Characteristic Functional Equation— | 1965年12月 細川巖 |
| TR-76 | 高速軸流圧縮機の研究(N) —NACA 65系翼型を修正した近似二重円弧翼形の動翼相対入口マッハ数1.5までの回転翼列試験— | 1965年1月 大山耕一, 松木正勝 西脇英夫, 岩部柱相 片山泰治 |

An Investigation of High Speed Axial Flow Compressor (IV)
 —Rotor Performance at Relative Inlet Mach Numbers up to 1.5 of NACA 65-Series Compressor Blades Modified Approximately to Double Circular-Arc Blades—

| | | |
|-------|---|-------------------------------|
| TR-77 | Galerkin 法の収束性について On the Convergence of Galerkin's Method | 1965 年 1 月 烏海良三 |
| TR-78 | 二次元準線型双曲系の特性曲線法による数値解法 Characteristic Method for the Numerical Solution of Two-Dimensional Quasi-linear Hyperbolic Systems | 1965 年 1 月 三好甫 |
| TR-79 | 引張りまたは圧縮をうける四角弹性平板の大振幅振動の影響について Influence of Large Amplitude on Flexual Vibrations of Rectangular Elastic Plates under Initial Tension or Compression | 1965 年 1 月 田寺木一, 古関昌次 泉日出夫 |
| TR-80 | 変分法直接解法において解に及ぼす束縛の数値的影響 —薄肉開断面片持梁の純振り振動の例— Numerical Effect of Constraints Calculus of the Direct Variational Method —in Case of Pure Torsional Vibration of Thin Walled Beams of Open Cross Section— | 1965 年 1 月 塙武敏, 越出慎一 |
| TR-81 | FRP コーティングの断熱特性 Thermal Insulation Characteristics of FRP Coating | 1965 年 1 月 竹中幸彦, 江川幸一 小川鉄一 |
| TR-82 | 多段軸流圧縮機の部分負荷特性の簡易計算法 A Simple Method of Calculating the Off-design Performance of Multi-Stage Axial-Flow Compressor | 1965 年 2 月 松木正勝, 藤井昭一 |
| TR-83 | 亜音速流中のパネルフラッタとダイバージェンス(I)—非圧縮流理論— Theoretical Study of Two-Dimensional Panel Flutter and Panel Divergence in Subsonic Flow (I) —Incompressible Flow Case— | 1965 年 2 月 石井孝雄 |
| TR-84 | 遷音速ターピン翼列二次元試験(II) Experimental Investigation on Transonic Turbine Cascades (II) | 1965 年 3 月 近藤博, 斎田光弘 山崎紀雄 |
| TR-85 | 回転翼の線型理論(II) —揚力線理論— Linearized Aerodynamic Theory of Rotor Blades (II) —Lifting-Line Theory— | 1965 年 3 月 市川輝雄 |
| TR-86 | 高速多段軸流圧縮機の部分負荷特性の一計算法 A Method for Predicting the Off-design Performance of Multi-Stage Axial-Flow Compressors Operating in the Transonic Flow | 1965 年 5 月 松木正勝, 藤井昭一 五味光男 |
| TR-87 | 亜音速流中のパネルフラッタとダイバージェンス(II)圧縮流理論(III)実験的研究 Theoretical Study of Two-Dimensional Panel Flutter and Panel Divergence in Subsonic (II) Compressible Flow Case (III) Experimental Study | 1965 年 6 月 石井孝雄 |
| TR-88 | 尾翼, 脊体結合構造物の地上振動試験結果に関する定性的な吟味 Qualitative Examinations on the Results of Ground Vibration Tests of Tail Wing-Fuselage Combination Structure | 1965 年 6 月 塙武敏, 越出慎一 |
| TR-89 | 垂直突風および航空機の突風応答に関する実験的研究 An Experimental Investigation on Vertical Gusts and the Airplane Response | 1965 年 6 月 小野幸一, 山根皓三郎 |

| | | |
|---------|--|--|
| TR-90 | ヒステリシス・ループの形、繰返しによる形の変化および繰返し後の塑性流動応力の上昇(第1報実験、第2報ねじりの場合の理論) The Shape of Mechanical Hysteresis Loop, Its Deformation Due to Stress Repetition and Resulting Increase in Flow Stress (Part 1. Experiment, Part 2. Theory for Torsion) | 1965年7月 中西不二夫, 佐藤和郎 永井文雄 |
| TR-91 | 固体プロペラントの割れ目内への火炎伝ば(I) Flame Propagation into the Gap of Solid Propellant Grain(I) | 1965年7月 五代富文 |
| TR-92 | ロケット胴体をまわる超音速流の一近似解法(I) —迎角0のとき— An Approximate Calculation for Supersonic Flow Past Bodies of Vehicles(I) —Linearized Flow with Axial Symmetry— | 1965年8月 谷喬 |
| TR-93 | 遷音速動安定試験 Dynamic Testing at Transonic Speed | 1965年10月 小橋安次郎, 河野長正 西武徳 |
| TR-94 | 翼幅方向に一様な揚力分布をもつ半無限の後退翼 On the Camber Lines of Semi-Infinite Swept-back Wings which Give Uniform Spanwise Load Distribution | 1965年10月 河崎俊夫 |
| TR-95 | 飛行機の縦の操縦特性に関する二三の考察 A Few Comments on the Longitudinal Handling Qualities of Airplanes | 1965年11月 荒木浩 |
| TR-96T | A Generalized Functional Formalism for Turbulence | Dec. 1965 Iwao Hosokawa |
| TR-97 | 圧縮性と壁形状を考慮した軸流ターボ機械の作動 円盤理論(I) —軸対称流れ— A Theoretical Investigation of the Compressible Flow Through the Axial Turbo-Machines(I) —Non-Swirling Fluids in Ducts— | 1965年12月 藤井昭一 |
| TR-98 | 後退角45°、アスペクト比4.0の薄い片持翼の遷音速フラッタ特性に及ぼすテーべ比の影響の実験的研究 Some Effects of Taper Ratio on the Transonic Flutter Characteristics of a Series of Thin Cantilever Wings Having a Sweptback Angle of 45° and an Aspect Ratio 4.0 | 1966年12月 中井暎一, 高木俊朗 安藤泰勝 |
| TR-99 | 計器のよみやすさに関する研究 A Study of Dial Legibility | 1966年2月 三好範子, 岡部正典 石川澄子 |
| TR-100 | 回転翼の線型理論(III) —揚力線の方程式の解法— Linearized Aerodynamic Theory of Rotor Blades(III) —Method for Solving Lifting-Line Equations— | 1966年2月 市川輝雄 |
| TR-101 | 航空機の着氷気象条件について(I) Meterological Conditions on Aircraft Icing (I) | 1966年2月 古関昌次, 田寺木一 泉日出夫, 太田幹雄 峰岸正勝 |
| TR-102 | ロケット胴体をまわる超音速流の一近似解法(II) —迎角のあるとき— An Approximate Calculation for Supersonic Flow Past Bodies of Rocket Vehicles(II) —Linearized Flow with Attack Angle— | 1966年3月 谷喬 |
| TR-103T | Basic Considerations for Treating Non-Equilibrium Fluids —A Functional Approach to Non-Equilibrium Statistical Mechanics— | Mar 1966 Iwao Hosokawa |
| TR-104 | 翼幅方向に一様な揚力分布をもつ三次元後退翼のそり | 1966年4月 河崎俊夫, 海老原正夫 |

The Camber Distribution of a Spanwise
Uniformly Loaded Subsonic wing

TR-105 バイロットの心理的負担に関する研究(I)
—操縦時の脈拍と呼吸の変化—
A Psychological Study on the Mental Stress
of Pilots(I)
—Pulse and Respiratory Rate During
Flight—

TR-106 遷音速における操縦面の逆効き
On Reversal of Effectiveness of Control Surfaces
in Transonic Flow

TR-107 円錐型電磁衝撃波管内の流れ
Ionized Flow in a Conical Shock Tube

TR-90T The Shape of Mechanical Hysteresis Loop, Its
Deformation Due to Stress Repetition and
Resulting Increase in Flow Stress (Part 1.
Experiment, Part 2. Theory for Torsion)

TR-108 二次元遷音速衝動タービン翼列の一実験
Some High-Speed Tests on Impulses Turbine
Cascades

TR-109 大型空気エゼクタの研究
A Study on the Large-Scale Air Ejector

TR-110 電磁流体の非粘性境界層
Some Investigations on Inviscid Boundary
Layer of Magnetohydro-dynamics

TR-111T An Asymptotic Solution of the Nonlinear
Equations of Motion of an Airplane

TR-112 圧縮性と壁形状を考慮した軸流ターボ機械の作動
円盤理論(II)
—円周速度のある流れ—
A Theoretical Investigation of the Compre-
sible Flow Through the Axial Turbo-Ma-
chines(II)
—Swirling Fluids—

TR-113 地面近くでホバリングするヘリコプタ・ロータに
関する実験
Experimental Study on the Ground Effect of
a Model Helicopter Rotor in Hovering

TR-114 フライングテストベッドの高度制御システムの検
討(I)
Analytical and Simulation Studies of the
Height Control of the Flying Test Bed

TR-115 NAL-16ロケットの研究試作および飛しょう実験
Single-Stage Propellant Rocket (NAL-16)

TR-116 50cm 極超音速風洞の計画と構造
Design and Construction of the 50 cm Hyper-
sonic Wind Tunnel at National Aerospace
Laboratory

TR-117 弾性振動方程式の差分解に関するエネルギー不等
式
Energy Inequalities for the Difference Solu-
tions of Equations of Elastic Vibration

TR-118 高負荷燃焼器の箱形模型による実験
Some Experiments on High Intensity Com-
bustor with Partial Model

TR-119 多次元1階準線型双曲方程式の解の在存について
On the Existence of Discontinuous Solutions
of the Cauchy Problem for Quasi-Linear
First-Order Equations

1966年4月 三好範子, 百名盛之
岡部正典

1966年5月 神谷信彦, 瀬川晋築

1966年5月 松崎利一

June 1966 Fujio NAKANISHI, Yasuo
SATO, & Fumio NAGAI

1966年6月 近藤博, 萩原光弘
山崎紀雄, 古川昇

1966年7月 藤井昭一, 五味光男
菅原昇

1966年8月 井上建二

Aug. 1966 Hiroshi ENDO

1966年8月 藤井昭一

1966年8月 幸尾治朗, 岡遠一

1966年8月 武田峻, 甲斐忠夫

1966年8月 ロケット性能研究室

1966年9月 極超音速風洞建設グループ

1966年10月 三好甫

1966年10月 大塚貞吉, 福田広
相波哲朗

1966年10月 小島清史

| | |
|---|---|
| TR-120 航技研フライングテストベッドの姿制御方式の検討 Analytical and Simulation Studies on the Attitude Control System of the Flying Test Bed | 1966 年 11 月 武田 峻, 堀川 勇壮 小川 敏雄, 森 幹彦 |
| TR-121 パルスレシオ変調回路およびその修正回路について Some Circuits for Pulse Ratio Modulation and their Modified Circuits | 1966 年 11 月 村上 力 |
| TR-122 失速が起こるような高い迎角で、諧和振動する二次元翼に働く空気力に対する半実験的理論 Semi-Empirical Theory to Estimate the Air-forces Acting on the Harmonically Oscillating Two-Dimensional Wing at High Angle of Attack Where Separation Can Occur | 1966 年 12 月 磯貝 紘二 |
| TR-123 姿勢制御用空気ジェットノズルの研究 Design and Experimental Study of Air Jet Nozzles for the Attitude Control of VTOL Aircraft | 1966 年 12 月 滝沢 直人, 西村 博史 藤枝 郷俊, 田辺 義一 渢谷 昭義 |
| TR-124 FM 多重テレメータの動特性 Dynamic Characteristics of FM Multichannel Telemetry System | 1966 年 12 月 新田 康治, 桜井 善雄 松崎 良継 |
| TR-125T 実験的・計算的結果による超音速振動特性 Experimental and Calculated Results of Supersonic Flutter Characteristics of a Low Aspect-Ratio Flat-Plate Surfaces | Jan. 1967 Eiichi NAKAI, Toshiro TAKAGI, Koji ISOGAI, Toshiyuki MORITA |
| TR-126 高負荷燃焼器の箱形模型による実験(Ⅱ) Some Experiments on High Intensity Combustor with Partial Models(Ⅱ) | 1967 年 2 月 大塚 貞吉, 福田 広相 波哲朗 |
| TR-127 周波数変換による微小回転角の計測 Measurement of Small Rotating Angle by the Frequency Modulation Technique | 1967 年 3 月 大月 正男, 鈴木 孝雄 円居繁治 |
| TR-128 赤外線加熱による固体の熱的物性値の測定法 Infra-red Radiation Method of Determining Thermal Diffusivity, Heat Capacity, and Thermal Conductivity of Solid Materials | 1967 年 3 月 小川 紘一 |
| TR-129 金属箔による円管流の熱絶縁 Thermal Insulation of Metal Foil for the Case of Circular Pipe Flow | 1967 年 3 月 井上 建二 |
| TR-130T 熔融現象による熱的物性値の測定 An Experimental Study of the Melting Phenomena in Axisymmetric Stagnation Region of Thermally Highly-Conducting Materials | Mar. 1967 Yasuhiko AIHARA |
| TR-131 風があるときのロケットの運動の近似解析およびランチャ角修正法 An Approximate Analytical Solution for Dispersion of Unguided Rockets Due to Wind with its Application to the Calculation of Wind Compensation for Launching | 1967 年 4 月 毛利 浩 |
| TR-132 軸方向に補強されたパネルの最大軸圧縮力(近似解) Ultimate Axial Forces of Longitudinally Stiffened Plate Panels | 1967 年 4 月 築地 恒夫 |
| TR-133 解離した極超音速流中での Teflon への熱伝達の測定 Measurements of Heat-Transfer to Teflon in Dissociated Hypersonic Flow | 1967 年 4 月 野村 茂昭 |
| TR-134 高速単段軸流圧縮機の研究 一二重円弧翼の性能 The Aerodynamic Performance of a Single-Stage Axial-Flow Compressor with Double-Circular-Arc Blades | 1967 年 5 月 藤井 昭一, 西脇 英夫 吉田 晃, 五味 光男 武田 克巳, 菅原 昇 |

| | |
|--|---|
| TR-135 同軸型電磁衝撃波管の作動機構 Driving Mechanism of an Electric Shock Tube with a Coaxial Gun | 1967 年 5 月 松崎利一 |
| TR-136 Nearly-Free-Molecule-Flow におけるオリフィス型圧力管 Experimental Study of an Orifice-Type Pressure Probe in Nearly-Free-Molecule Flow | 1967 年 5 月 恩地瑛, 山本稀義 |
| TR-137 梁板結合構造物の振動(I) On the Natural Vibration of Plate-Beam Combination Structures(I) | 1967 年 6 月 越出慎一, 林洋一 塙武敏 |
| TR-138 変厚片持板の静撓みについて Deflection Analysis of Variable Thickness Cantilever Plate | 1967 年 7 月 塙武敏, 越出慎一 |
| TR-139 多発動機付ヘリコプタの片発停止時における最適着陸操作—前進速度 0 の場合— Optimal Vertical Descent Procedure with Partial Power of Multi-Engined Helicopters —The case of Rejected Take-Off— | 1967 年 8 月 古茂田真幸 |
| TR-140 流線法によるダクト流れ Streamline-Curvature Approach to Duct-Flow Problems | 1967 年 9 月 藤井昭一, 宇野威信 |
| TR-141 マトリクス内力法による半張殻構造の応力解析について Semi-Monocoque Structures Solved Numerically by the Matrix Force Method | 1967 年 10 月 川島矩郎 |
| TR-142 動的模擬模型による姿勢のオンオフ制御実験 Experimental Studies on Some On-Off Attitude Control Systems Using a Dynamic Model | 1967 年 10 月 横口一雄, 堀川勇壮 村上力, 小川敏雄 真柳光美 |
| TR-143 高負荷燃焼器の一次燃焼領域の研究 Experimental Studies on the Primary Zone of High-Intensity Combustors | 1967 年 10 月 大塚貞吉, 鈴木邦男 相波哲朗, 石井浅五郎 広瀬健樹 |
| TR-144 円管流の非定常熱伝達 —第2報 薄い壁の場合— Transient Heat Transfer through a Thin Circular Pipe Due to Unsteady Flow in the Pipe | 1967 年 11 月 林二議, 井上建二 |
| TR-145 ロケット用耐熱材料の研究 Study on Heat Insulation Materials for Rocket | 1967 年 11 月 古田敏康 |
| TR-146 半導体歪ゲージを用いる小型高感度加速度計の研究 Study on the Miniature Type Hight Sensitivity Accelerometer Using Semiconductor Strain Gages | 1967 年 11 月 田畠淨治, 大坪孔治 滝沢直人 |
| TR-147 固体ロケットモータのノズルにおける熱伝達の実験的研究 —プロペラント内へ添加されたアルミニウムの影響— An Experimental Investigation of Heat Transfer in the Nozzle of High-Aluminized Solid Rocket | 1968 年 2 月 五代富文, 湯沢克宣 伊藤克弥, 西村久男 |
| TR-148 失速角以上で振動する翼のまわりの流れの観察 —失速フラッタの研究(I)— Optical Observation of the Separated Flow around an Oscillating Aerofoil at High Mean Angles of Attack with Special Reference to Stall Flutter | 1968 年 2 月 中村泰治, 磐貝祐二 江尻宏 |
| TR-149 よどみ点におけるグラファイトのアブレーションの実験的研究 An Experimental Study of the Ablation of Graphite in the Stagnation Region | 1968 年 2 月 相原康彦, 野村茂昭 渡辺泰夫 |

航空宇宙技術研究所報告150号

昭和43年2月発行

発行所 航空宇宙技術研究所

東京都調布市深大寺町1880

電話武藏野三鷹(0422) 44-9171 (代表)

印刷所 株式会社 東京プレス

東京都板橋区桜川 2~27~12
